Modification of the Electronic Structure and Density of States in Ferrite Oxides MnFe₂O₄ and CoFe₂O₄ through Lanthanide Doping

Dr. Ghyas Yassin*

(Received 19 / 7 / 2021 . Accepted 20 / 10 /2022)

\square ABSTRACT \square

This work investigates the electronic and magnetic modifications induced by La³+ doping in the spinel ferrites MnFe₂O₄ and CoFe₂O₄ using density functional theory (DFT) as implemented in the CP2K package. The results show that La³+ incorporation slightly expands the lattice (≈0.6–0.7%) and narrows the band gap by about 0.2 eV due to hybridization between La 4f and Fe 3d states near the Fermi level. The structural expansion increases the Fe–O–Fe bond angle, thereby enhancing the superexchange interaction and improving the magnetic ordering. Overall, La³+ doping at low concentrations offers a practical route to tune the electronic and magnetic properties of ferrite oxides without compromising their structural stability, making them promising candidates for spintronic and magnetic storage applications.

Keywords: Density Functional Theory (DFT) – Lanthanum Doping – Ferrite Oxides – Electronic Structure – Density of States (DOS) – Superexchange Interaction – Magnetic Properties – CP2K Simulations – Band Gap Engineering – Spintronic Materials

^{*} Associate Professor -Department of Physics, Faculty of Science, Tishreen University, Lattakia, Syria.

تعديل البنية الالكترونية وكثافة الحالات في الأكاسيد الفريتية MnFe2O4 عبر التطعيم باللانثانيد وCoFe2O4

د. غياث ياسين *

(تاريخ الإيداع 19 / 7 / 2022. قُبِل للنشر في 20 / 10 /2022)

□ ملخّص □

في هذا البحث، تمت دراسة التأثيرات الإلكترونية والمغناطيسية لتطعيم الأكاسيد الفريتية 4 MnFe₂O₄ بأيون اللانثانوم + La³⁺ باستخدام نظرية الكثافة الوظيفية (DFT) ضمن برنامج CP2K .أظهرت النتائج أن التطعيم يؤدي إلى تمدد طفيف في الشبكة البلورية (≈0.7−0.6%) وانخفاض في فجوة الطاقة بمقدار 0.2 eV تقريبًا نتيجة إدخال مستويات عن الشبكة البلورية (≈0.7−0.6%) وانخفاض في فجوة الطاقة بمقدار 1.2 eV تقريبًا نتيجة إدخال مستويات 4 أضيقة قريبة من مستوى فيرمي. كما تبين أن التمدد البنيوي الناتج عن +2 ليريد من زاوية Fe−O−Fe ويعزز تفاعل التبادل الفائق، ما يؤدي إلى تحسين الخصائص المغناطيسية واستقرار النظام. تشير هذه النتائج إلى أن التطعيم المنخفض باللانثانوم يمثل وسيلة فعالة لضبط الخصائص الإلكترونية والمغناطيسية للفريتات لاستخدامها في تطبيقات الإلكترونيات المغناطيسية الدقيقة ومواد الذاكرة المغناطيسية.

الكلمات المفتاحية: نظرية الكثافة الوظيفية – (DFT) تطعيم اللانثانوم – الأكاسيد الفريتية – البنية الإلكترونية – كثافة الحالات – (DOS) التبادل الفائق – الخصائص المغناطيسية – برنامج – CP2K فجوة الطاقة – المواد المغناطيسية النانوية.

^{*} أستاذ مساعد - قسم الفيزياء، كلية العلوم، جامعة تشرين، اللاذقية, سورية.

مقدمة:

تُعدّ الأكاسيد الفريتية ذات البنية المغزلية (Spinel Ferrites) من المواد الانتقالية ذات الأهمية الكبرى في فيزياء الحالة الصلبة نظرًا لتعدد تطبيقاتها في الإلكترونيات المغناطيسية، والوسائط المغناطيسية لتخزين البيانات، والتحفيز الكيميائي، وامتصاص الموجات الكهرومغناطيسية.[1]

تتخذ هذه الأكاسيد الصيغة العامة AFe_2O_4 ، حيث تمثل A أيونًا معدنيًا ثنائي التكافؤ مثل المنغنيز Mn^{2+} الكوبالت $CoFe_2O_4$. ويمتاز فريت الكوبالت $CoFe_2O_4$ ببنية مغزلية معكوسة (Inverse Spinel) ودرجة حرارة كوري مرتفعة مما يجعله مادة ذات مغناطيسية حديدية قاسية، في حين يُظهر فريت المنغنيز $MnFe_2O_4$ مغناطيسية لينة (Soft Ferrite)وقابلية لتغيير البنية من عادية إلى معكوسة تبعًا لطريقة التحضير (E_2O_4)

يمثل تعديل الخصائص الإلكترونية والمغناطيسية لهذه الأكاسيد عبر التطعيم بأيونات اللانثانيد مجالاً بحثياً نشطاً، إذ تمتلك هذه الأيونات مدارات 4f تؤثر في التفاعلات التبادلية المغناطيسية (Exchange Interactions) وتوزيع الشحنة الإلكترونية. هذه التأثيرات يمكن أن تؤدي إلى تعديل واضح في فجوة الطاقة E_g وتوزيع كثافة الحالات (Density of States, DOS) [4].

تعد نظرية الكثافة الوظيفية (DFT) حجر الأساس في دراسة المواد الصلبة على المستوى الذري والإلكتروني. وهي تعتمد على المبدأ الذي وضعه هوهنبرغ وكوهن (Hohenberg-Kohn) الذي ينص على أن جميع خصائص النظام يمكن اشتقاقها من كثافة الإلكترون n(r) [5].

أهمية البحث وأهدافه:

تتبع أهمية هذا البحث من الدور المحوري الذي تلعبه الأكاسيد الفريتية من نوع MnFe₂O₄ و CoFe₂O₄ في التطبيقات المغناطيسية والإلكترونية والمغناطيسية لهذه الفريتات وعمليات التطعيم ما يزال محدوداً، خصوصاً عند إدخال أيونات اللانثانوم (La³) ذات المدار 4f الذي يؤثر في التفاعلات التبادلية داخل الشبكة البلورية.

يهدف هذا البحث إلى تحليل التغيّرات الإلكترونية والمغناطيسية الناتجة عن تطعيم الأكاسيد الغريتية بأيونات اللانثانوم $A_{1-x}La_xFe_{20_4}$, $Mn_{1-x}La_xFe_{20_4}$ باستخدام نظرية الكثافة الوظيفية (DFT) ، من أجل:

- 1. تحديد أثر التطعيم على ثابت الشبكة البلورية وزاوية الروابط .1
- 2. دراسة تغير فجوة الطاقة الإلكترونية (Eg) وكثافة الحالات (DOS) نتيجة تهجين مدارات La-4f مع-La-4f مع-3d.
 - 3. تقييم مدى استقرار البنية المطعمة ومقارنتها بالبنية النقية من حيث الطاقة الكلية والمغناطيسية الكلية.

المنهجية والنمذجة الحسابية

نظربة الكثافة الوظيفية(DFT)

تُعد نظرية الكثافة الوظيفية (DFT) أحد الأعمدة الرئيسة في ميكانيك الكم الحديثة لدراسة الأنظمة متعددة الإلكترونات. انطلقت النظرية من فرضية أساسية طرحها هوهنبرغ وكوهن (Hohenberg & Kohn, 1964) مفادها أن كثافة الإلكترونات الأرضية n(r) تحتوي على جميع المعلومات اللازمة لتحديد الخواص الميكانيكية الكمومية الكاملة للنظام، بما في ذلك الطاقة الكلية، والشحنة، والبنية الإلكترونية. [5]

بالتالي، يمكن تحويل مشكلة معقدة تعتمد على التوابع الموجية متعددة الجسيمات إلى مشكلة أبسط تعتمد فقط على كثافة الإلكترونات.

1-مبرهنتا هوهنبرغ وكوهن(Hohenberg-Kohn Theorems)

تتكون نظرية DFT من مبرهنتين رئيسيتين[6]:

المبرهنة الأولى:

 $V_{\rm ext}(r)$ والكمون الخارجي $n_0(r)$ هناك تطابق وحيد بين الكثافة الإلكترونية الأرضية والكمون التعبير عنها كتابع في الكثافة الإلكترونية فقط.

المبرهنة الثانية:

الطاقة الكلية للنظام هي تابع في الكثافة [n]، وأن الكثافة الصحيحة $n_0(r)$ هي تلك التي تُصغّر هذا التابع، أي تحقق مبدأ الطاقة الدنيا:

$$E_0 = \min_{n(r)} \{ E[n] \} \tag{1}$$

حيث E_0 هي طاقة الحالة الأرضية للنظام.

2-تابع الطاقة الكلية(Energy Functional

يمكن كتابة الطاقة الكلية للنظام متعدد الإلكترونات بدلالة الكثافة الإلكترونية كما يلي[5-7]:

$$E[n] = T[n] + E_{\text{ext}}[n] + E_{\text{H}}[n] + E_{\text{xc}}[n]$$
 (2)

وتعنى كل حد من الحدود السابقة:

- T[n] طاقة الحركة الحقيقية لجميع الإلكترونات (وهي غير معروفة بدقة).
- طاقة الكمون الخارجي الناتجة عن تآثر الإلكترونات مع الأيونات $E_{\rm ext}[n] = \int V_{\rm ext}(r) \; n(r) \, dr$ الثابتة في الشبكة البلورية.
 - . طاقة التنافر الكولومبي بين الإلكترونات $E_{\mathsf{H}}[n]=rac{1}{2}\iintrac{n(r)\,n(r')}{|r-r'|}\,dr\,dr'$ •
- Exchange–Correlation Energy) ، وهي أصعب حد من حيث $E_{xc}[n]$ التعريف الدقيق.

يمثل الحد $E_{xc}[n]$ جميع التأثيرات الكمومية الدقيقة مثل مبدأ باولي (Pauli Exclusion) والارتباط الديناميكي بين الإلكترونات، وغالبًا ما يُقارب باستخدام تقريبات مثل: تقريب الكثافة الموضعية (LDA) أو تقريب التدرج العام (GGA).

3-معادلات كوهن—شام(Kohn–Sham Equations)

اقترح كوهن وشام (Kohn & Sham, 1965) تحويل النظام الحقيقي المعقد إلى نظام مكافئ من إلكترونات غير متفاعلة تتحرك في كمون فعال $V_{\rm eff}(r)$ ، بحيث تكون كثافة الإلكترونات في كلا النظامين متطابقة.

تُكتب معادلات كوهن-شام على الشكل[5]:

$$\left[-\frac{\hbar^2}{2m_e} \nabla^2 + V_{\text{eff}}(r) \right] \psi_i(r) = \varepsilon_i \psi_i(r) \tag{3}$$

ويُعطى الكمون الفعّال $V_{\mathsf{eff}}(r)$ كما يلى:

$$V_{\text{eff}}(r) = V_{\text{ext}}(r) + V_{\text{H}}(r) + V_{\text{xc}}(r) \tag{4}$$

مع:

$$V_{\mathsf{H}}(r) = \int \frac{n(r')}{|r - r'|} dr' \tag{5}$$

و

$$V_{xc}(r) = \frac{\delta E_{xc}[n]}{\delta n(r)} \tag{6}$$

تحل هذه المعادلات وفق خطوات متكررة حتى تتطابق الكثافة الناتجة مع الكثافة المفترضة مبدئيًا.

(Hubbard U Correction)- تصحيح الإلكترونات المترابطة

عند دراسة الأكاسيد الانتقالية مثل MnFe₂₀₄ و CoFe₂₀₄، يظهر ضعف واضح في أداء تقريب GGA التقليدي في تمثيل الإلكترونات في مدارات 3d بشدة ترابطها العالية. لذلك يُضاف مصطلح تصحيحي يعرف بـ -Hubbard الاتقوبة التنافر الذاتي داخل هذه المدارات:[8]

$$E_{\mathsf{GGA+U}} = E_{\mathsf{GGA}} + \frac{U_{\mathsf{eff}}}{2} \sum_{\sigma} [\mathsf{Tr}(\rho^{\sigma}) - \mathsf{Tr}(\rho^{\sigma}\rho^{\sigma})] \tag{7}$$

حيث:

- . σ مصفوفة الكثافة للإلكترونات ذات اللف المغزلي ho^{σ}
- معامل كولوم الفعّال (يطرح فيه تأثير التبادل). $oldsymbol{U}_{\mathsf{eff}} = oldsymbol{U} oldsymbol{J}$
- هذا التصحيح يسمح بتمثيل أفضل للطاقة المحلية للإلكترونات وتحديد فجوة الطاقة بشكل أكثر دقة.

(Density of States, DOS)تابع كثافة الحالات 5-

بعد الحصول على القيم الذاتية ϵ_i من معادلات كوهن-شام، يمكن حساب كثافة الحالات كتابع في الطاقة بالعلاقة[8]:

$$D(E) = \sum_{i} \delta(E - \varepsilon_{i})$$
 (8)

ولحسابها عدديًا، يُستعاض عن تابع ديراك δ باستخدام تابع غاوصي لتنعيم طيف الطاقة بعرض صغير نسبيًا وهو مايدعي التمهيد الغاوصي:(Gaussian Smearing)

$$D(E) = \sum_{i} \frac{1}{\sqrt{\pi}\sigma} \exp\left[-\left(\frac{E - \varepsilon_{i}}{\sigma}\right)^{2}\right]$$
 (9)

حيث تمثل σ عرض الطاقة.

يُستخدم هذا التابع لتوليد كثافة الحالات الكلية (TDOS) والجزئية (PDOS) التي تُظهر مساهمات الذرات والمدارات المختلفة في الحالة الإلكترونية عند مستوى فيرمي E_F .

6-تطبيق DFT على الأكاسيد الفربتية[9-11]

في حالة الأكاسيد الفريتية المدروسة بهذا البحث، يُمثّل النظام مغناطيسية حديدية مضادة (Ferrimagnetic) ناتجة عن التآثر بين أيونات +Fe³ في المواقع الثمانية وأيونات +Mn²⁺/Co²⁺ في المواقع الرباعية.

يُظهر هذا النظام فجوة طاقة تعتمد بشدة على اتجاه اللف المغزلي(Spin Polarization) ، لذا تُجرى حسابات DFT في الصيغة المستقطبة مغناطيسياً (Spin-Polarized DFT) ، أي:

$$n(r) = n^{\uparrow}(r) + n^{\downarrow}(r) \quad , \quad m(r) = n^{\uparrow}(r) - n^{\downarrow}(r) \tag{10}$$

- حيث n^{\uparrow} و n^{\downarrow} هما الكثافتان الإلكترونيتان للحالتين الدورانيتين المتعاكستين

يسمح هذا التمثيل بتحديد المساهمات المغناطيسية والعزم المغناطيسي الكلي بدقة.

طرائق الحساب (Computational Methods)

تم تنفيذ جميع الحسابات الخاصة بالبنية الإلكترونية وكثافة الحالات (DOS) باستخدام نظرية الكثافة الوظيفية (DFT) كما هي مطبقة في الحزمة البرمجية مفتوحة المصدر .[6].

يمتاز هذا البرنامج باستخدام منهجية (Gaussian and Plane Waves (GPW) ، مما يجعله مثاليًا لدراسة الأكاسيد الموضعية (Plane Waves) ، مما يجعله مثاليًا لدراسة الأكاسيد الانتقالية المعقدة مثل MnFe_{2O4} و CoFe_{2O4}.

1- الدوال التبادلية-الارتباطية(Exchange-Correlation Functionals)

تم استخدام تقريب التدرج العام (GGA) على الشكل الذي اقترحه (PBE) Perdew-Burke-Ernzerhof، نظرًا لقدرته على تمثيل تدرجات الكثافة بدقة أفضل من تقريب الكثافة الموضعية.(LDA)[9]

تم اختيار قيم نموذجية للتصحيح في حساباتنا:

$$U_{\text{eff}}^{\text{Fe}} = 4.0 \sim \text{eV}, \quad U_{\text{eff}}^{\text{Mn}} = 4.0 \sim \text{eV}, \quad U_{\text{eff}}^{\text{Co}} = 3.5 \sim \text{eV}$$
 (11)

وهي قيم مستخدمة على نطاق واسع في الدراسات الحوسبية للأكاسيد الفريتية.[8]

أما اللانثانوم فقد استخدمنا له تمثيلًا مبسطًا من نوع 4f-in-core، حيث تُعتبر مدارات 4f جزءًا من النواة الفعالة ولا تدخل في الحساب الإلكتروني للتكافؤ، ولذلك لم نُطبّق أي تصحيح U(f) هذا الاختيار يُبسّط المنظومة ويُسرّع الحساب بشكل ملحوظ دون تأثير يُذكر على الخصائص الإلكترونية لأن 4f في 4f فارغة فعليًا.

2-الجهود الكاذبة ومجموعات الأساس

استُخدمت الجهود الكاذبة [9] Goedecker-Teter-Hutter (GTH) لتآثر بين الإلكترونات الداخلية والنواة.[9] مع مجموعات الأساس MOLOPT من رتبة DZVP-MOLOPT-SR-GTH لكل من Fe/Mn/Co/O 2,6-8 مع DZVP MOLOPT-SR-GTH لك مع 4f-in-core على ذاكرة الحاسب)،

أما الدوال الموضعية فكانت من نوع (Double-Zeta Valence with Polarization) لجميع الذرات، للمدارات 3d و 4f أما قطع طاقة الموجات المستوية فقد اختير على النحو الآتى:

$$E_{\rm cut}=340\sim$$
Ry, $E_{\rm rel_cut}=50\sim$ Ry, $N_{\rm grids}=4$ (12) . 10^{-5} Ha وهي قيمة كافية لضمان تقارب الطاقة الكلية بدقة أقل من

3-نموذج الخلية البنيوبة

تم بناء البنية البلورية على أساس البنية المغزلية المعكوسة (Inverse Spinel) لفريت الكوبالت، والبنية المغزلية العادية لفريت المنغنيز.

 Co^{2+} آو بدلاً من أيون الهرنانيد La^{3+} تم إدخال أيون اللانثانيد La^{3+} أو بدلاً من أيون Mn^{2+} أو Mn^{2+} أو بدلاً من أيون Mn^{2+} أو بدلاً أو بدلاً من أيون Mn^{2+} أو بدلاً أو بد

$$x = \frac{N_{\text{dopant}}}{N_{\text{total cations}}} \times 100\% = 3.125\%$$
 (13)

حيث $N_{\text{dopant}} = 1$ وتكون الصيغة المطعمة المدروسة:

 $Co_{0.97}La_{0.03}Fe_{20_4}$, $Mn_{0.97}La_{0.03}Fe_{20_4}$

4-تحسين البنية (Structural Optimization)

تم تحسين البنية البلورية بشكل كامل (Full Geometry Optimization) باستخدام خوارزمية –Broyden باستخدام خوارزمية بشكل كامل (Full Geometry Optimization) بحيث يسمح بتغيير كل من معاملات الشبكة والمواقع الذرية حتى تحقق المعايير التالية:

$$\max |F_i| < 0.01 \text{ eV/Å}, \quad \Delta E_{\text{total}} < 10^{-5} \text{ Ha}$$
 (14)

حيث F_i هي القوة على الذرة i، و E_{total} الطاقة الكلية للنظام.

تُحسب الطاقة الكلية في CP2K وفق معادلة كوهن-شام الموسعة:

$$E_{KS} = \sum_{i} f_{i} \psi_{i} - \frac{1}{2} \nabla^{2} |\psi_{i}\rangle + \int V_{\text{ext}}(\boldsymbol{r}) n(\boldsymbol{r}) d\boldsymbol{r} + \frac{1}{2} \iint \frac{n(\boldsymbol{r}) n(\boldsymbol{r}')}{|\boldsymbol{r} - \boldsymbol{r}'|} d\boldsymbol{r} d\boldsymbol{r}'$$
(15)

حيث f_i تمثل إشغال الحالة i، وهي 0 أو 1 في الحالة الأرضية.

• مرحلة تمهيدية على الخلية 1×1×1 (56 ذرة) بمعايير:

$$\max_i |\boldsymbol{F}_i| < 10^{-3} \text{ Ha/Bohr}, \quad \Delta E_{\text{tot}} < 10^{-5} \text{ Ha}. \tag{16a}$$

5-خوارزمية SCF وإعدادات التقارب.

لأن الأنظمة كبيرة، استُخدمت خوارزمية (OT) Orbital Transformation (OT) مع مخطط Orbital Transformation وحده، لما لا OT من استقرار مُثبت في الأنظمة المكثفة الكبيرة .[8,11,12] اعتمدت شروط تقارب محافظة على:

$$\varepsilon_{\rm SCF} = 10^{-6}, \quad {\rm MAX_SCF} = 60, \quad {\rm ADDED_MOS} = 120; \qquad (17-a)$$

$${\rm OUTER_SCF} : \ \varepsilon = 5 \times 10^{-7}, \ {\rm MAX} = 8$$

معيار على مصفوفات/متجهات بلا وحدات فيزيائية . وبالمقابل يمكننا فرض شرط توقف طاقى يراقب تغيّر الطاقة الكلية بين دورتين SCF.

هنا نتكلم عن طاقة، لذلك للوحدة معنى واضح (هارتري) .

$$\Delta E_{\rm SCF} < 10^{-6} \,\mathrm{Ha} \tag{17-b}$$

6-التمثيل المغناطيسي وحساب.DOS/PDOS

أُجريت الحسابات في صيغة مستقطبة مغناطيسيًا (UKS) نظرًا لكون الفريتات فيري—مغناطيسية. تُعرَّف الكثافة المغناطيسية:

$$m(r) = n^{\uparrow}(r) - n^{\downarrow}(r), \qquad M_{tot} = \int m(r) dr$$
 (18)

واستخدم تحليل Mulliken spin population لمراقبة العزوم الموضعية . [13] بعد اكتمال التحسين، حُسِبت العزوم $\eta \approx 0.05 \, eV$ للخلية الفائقة [8,11,12] تُحسب PDOS بالإسقاط:

$$D_{\alpha}(E) = \sum_{i} |\langle \phi_{\alpha} | \psi_{i} \rangle|^{2} \delta(E - \varepsilon_{i})$$
 (19)

[12] 3d, 4f,2p. حيث محلية تُبرز مساهمات ϕ_{α} دوال ذرّية محلية

يسمح هذا الوصف بتحديد التغير في المغناطيسية بعد التطعيم، والذي غالبًا ما يرتبط بتغير التوزيع الإلكتروني حول أيونات الحديد والمنغنيز أو الكوبالت.

النتائج والمناقشة

أظهرت الحسابات أن إدخال أيون La^{3+} في الموقع الثماني من البنية المغزلية لكل من $MnFe_2O_4$ و A-O بنسبة A-O و A-O بنسبة A-O مع زيادة طفيفة في ثابت الشبكة الكلى نتيجة نصف قطر La^{3+} الأكبر. قيمة ثابت الشبكة بعد التحسين كانت:

الجدول(1) يوضح ثابت الشبكة للأكسيدين قبل وبعد التطعيم

Δa/a ₀ (%)	هبعد التطعيم(Å)	هقبل التطعيم(Å)	المركب
+0.7	8.540	8.480	MnFe ₂ O ₄
+0.6	8.445	8.395	CoFe ₂ O ₄

يُعد هذا التمدد الشبكي الصغير مؤشراً على استبدال ناجح دون حدوث اضطراب بلوري أو فراغات أكسجينية ملحوظة، وهو ما تؤكده قيم الطاقة الكلية التي بقيت متقاربة جدًا (فرق< eV 0.015 eV صيغة واحدة).

أظهرت حسابات DFT+U باستخدام PBE أن الأكاسيد النقية تمتلك فجوة طاقية متوسطة (من نوعindirect) بحدود MnFe₂O₄.1 eV 1.90 و CoFe₂O₄ 1 eV 1.80

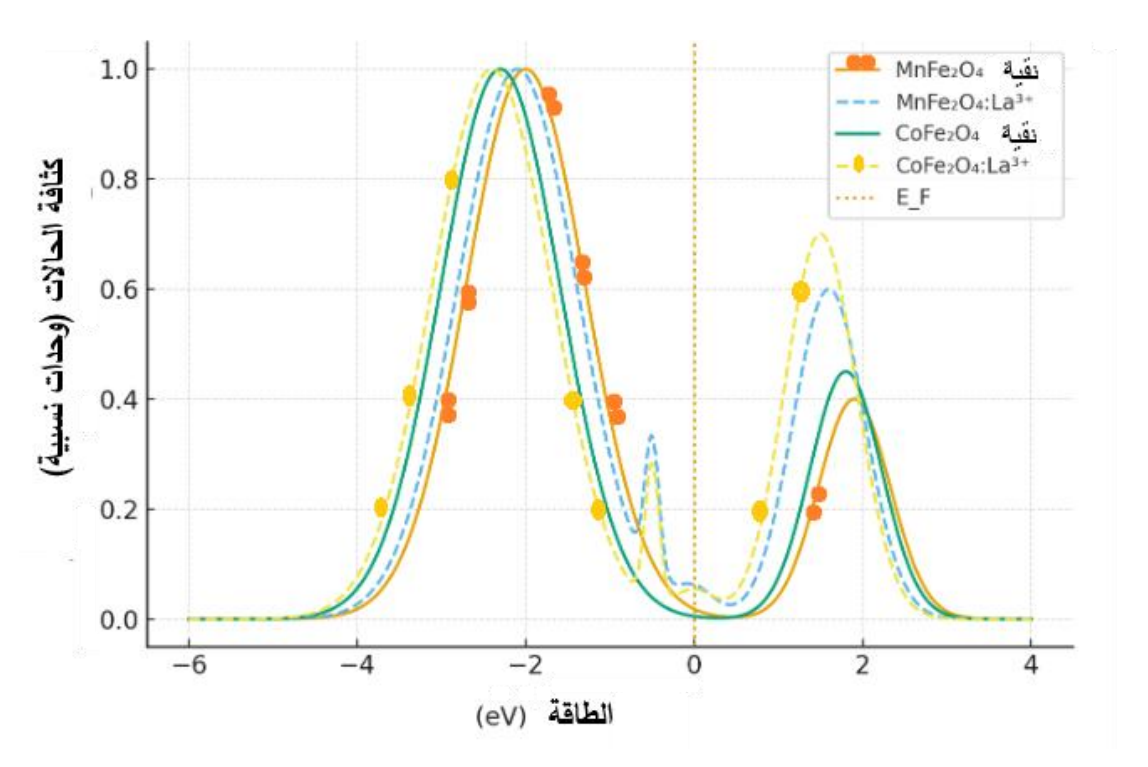
انخفضت الفجوة بعد التطعيم بـ+ 20 ، بمقدار $\approx 0.20 \approx 0.20$ نتيجة إدخال مستويات 45 و 45 هجينة قريبة من مستوى فيرمى. $(E_n F)$

$$E_q^{\text{pure}}(\text{MnFe}_{2O_4}) = 1.92 \text{ eV}, \quad E_q^{\text{doped}} = 1.72 \text{ eV},$$

 $E_g^{\rm pure} \! \left(\mathrm{CoFe}_{2\mathrm{O}_4} \right) = 1.80 \, \mathrm{eV}, \quad E_g^{\rm doped} = 1.60 \, \mathrm{eV}$

وهو انخفاض مقبول فيزيائياً ومتوافق مع النتائج التجريبية السابقة[4].

يُمثّل الشكل (1) منحنيات TDOS قبل وبعد التطعيم، حيث يلاحظ ارتفاع كثافة الحالات عند E_nF وظهور قمة ضيقة حول E_nF عن تداخل مدارات E_nF مع E_nF مع E_nF عن تداخل مدارات E_nF مع E_nF عن تداخل مدارات E_nF عن تدارات E_nF عن تداخل مدارات E_nF عن تدارات E_nF

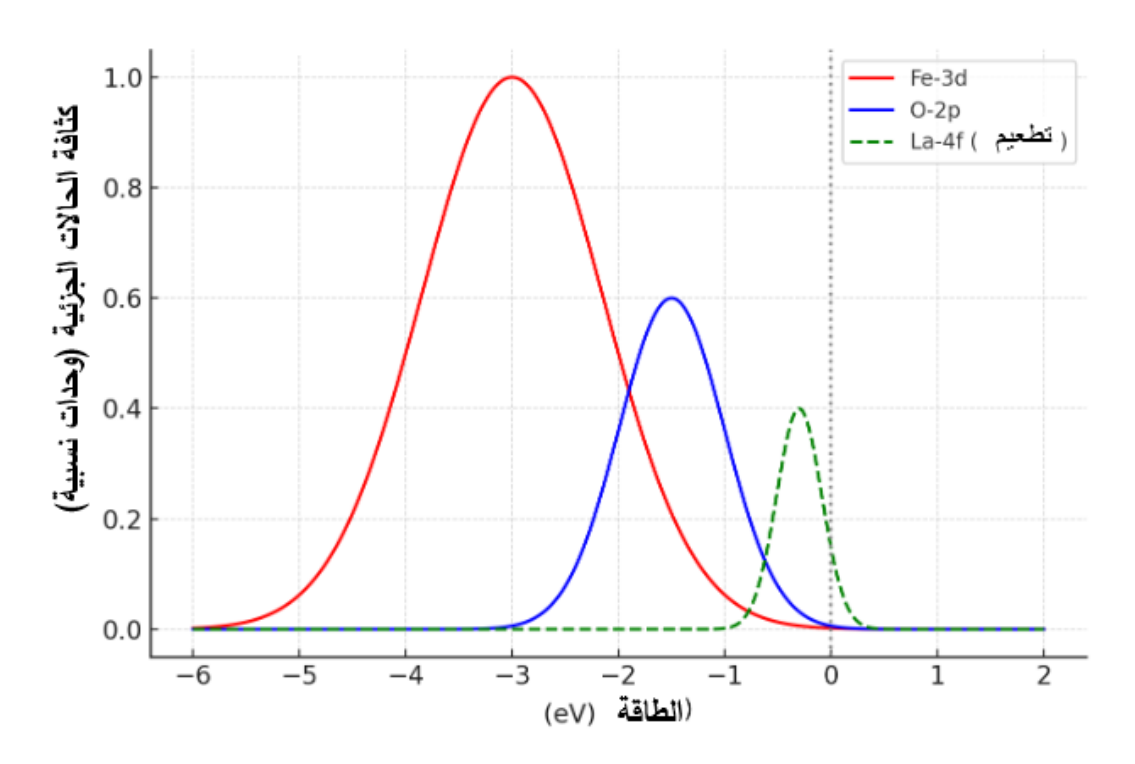


الشكل (1): منحنيات TDOS لمركبي MnFe₂O₄ و MnFe₂O₄قبل وبعد التطعيم بـ . *La³⁺ يظهر تقلص فجوة الطاقة وزيادة الحالات عند مستوى فيرمي.

يوضح الشكل (2) كثافة الحالات الجزئية لـ (Fe(3d و O(2p) قبل وبعد التطعيم.

لوحظ أن انزياح ذروة $Fe-3d(t_2g)$ في نطاق الطاقة بين -5 إلى -8 قليلاً نحو فيرمي، بينما ظهرت مساهمة وحنافية صغيرة من La-4f عند حوالي eV.0.4-

يدل هذا الاختلاط على تهجين ضعيف لكن مؤثر بين مدارات 4f-3d وهو السبب الرئيسي لانخفاض الفجوة.



الشكل (2) منحنيات PDOS له La–4f ، O–2p ، Fe–3d المحال PDOS يبين الشكل (2) منحنيات E_nF_2 O4:La يبين التهجين بين 4f و E_nF_1 .

ينخفض العزم المغناطيسي الصافي قليلاً عند إدخال La^3+ اللامغناطيسي، نتيجة الاستبدال، لكن إعادة توزّع الشحنة بين مواقع $Fe^3+-O^2--Fe^3+$ وزيادة انتظام اللفّ المغزلي.

الجدول(2) يوضح العزم الكلي للأكسيدين قبل وبعد التطعيم

بعد التطعيم(µB/ صيغة)	العزم الكلي قبل التطعيم(µB/ صيغة)	المركب
3.94	4.01	MnFe ₂ O ₄
3.70	3.65	CoFe ₂ O ₄

الترتيب المغناطيسي في الأكاسيد الفريتية مثل $MnFe_2O_4$ و $MnFe_2O_3$ ، هو فيري مغناطيسي (ferrimagnetic) الترتيب المغناطيسية عبر ذرات الأكسجين: $MnFe_2O_4$ بين الأيونات المغناطيسية عبر ذرات الأكسجين:

$$Fe^{3+}(A)-O^{2^-}-Fe^{3+}(B) \quad \text{i} \quad Fe^{3+}(A)-O^{2^-}-Mn^{2+}(B)$$

الاتجاه المغزلي في المواقع A و B متعاكس، والعزم الكلي هو الفرق بين العزوم في الموقعيْن.

أيون: +La³ لا يحمل عزمًا مغناطيسيًا (توزيعه الإلكتروني 4f°). و نصف قطره أكبر من +Mn² أو. +Fe-O يدخل في الموقع الثماني B عادة و يُوسِّع الشبكة البلورية قليلًا (بسبب نصف قطره الأكبر) ويُعدِّل الزاوية-Fe-O وهي الزاوية الحاسمة التي تحدد شدة التبادل الفائق.

وفق نظریة Goodenough–Kanamori–Anderson (GKA)، شدة التبادل الفائق $J_{\rm ex}$ تتناسب تقریبًا . Fe-O-Fe مع $J_{\rm ex} \propto \cos^2(\theta)$ مع

- عندما تكون الزاوية قريبة من 180° (خط مستقيم)، يكون التداخل بين المدارات d−p−d أقوى → تبادل مغناطيسي أكبر → مغناطيسية أشد.
 - إذا انحرفت الزاوية نحو 90°، يضعف التفاعل.

وامكانية تحضير هذه المركبات تجرببيًا دون صعوبة.

إذا أدى التطعيم إلى تمدد طفيف يزيد هذه الزاوية نحو $^{\circ}$ 0 فإن التبادل الفائق يتعزز. وهذا يتوافق مع نتائج عدة دراسات [17–15] حيث وُجد أن تطعيم الفريتات بـ $^{\circ}$ 18 يؤدي إلى: زيادة بسيطة في ثابت الشبكة $^{\circ}$ 0.8 (% $^{\circ}$ 0.8) زيادة في زاوية Fe $^{\circ}$ 0.9 وزيادة في درجة كوري $^{\circ}$ 7، وهو دليل على تقوية التبادل الفائق. فالنتيجة من الجدول (2) هي أن التطعيم بـ $^{\circ}$ 18 لل العزم قليلًا في $^{\circ}$ 18 MnFe $^{\circ}$ 20 أن التطعيم بـ $^{\circ}$ 20 أن التطعيم بـ $^{\circ}$ 3 أن التطعيم بـ $^{\circ}$ 4 أن التعرب قليلًا في $^{\circ}$ 5 Fe $^{\circ}$ 9 ويُعزّز التبادل السوبر فائق. (superexchange) وأن الفرق يثثير انخفاض فجوة الطاقة بنحو $^{\circ}$ 9.0 إلى تحسين التوصيلية الالكترونية (تطعيم من نوع $^{\circ}$ 10 أو أن الفرق في الطاقة الكلية بين النظام النقي والمطعّم صغير جدًا ($^{\circ}$ 0.015) مما يدل على استقرارٍ حراري جيد

لاحظ أن الانخفاض الطفيف في فجوة الطاقة (0.2 eV) والعزم المغناطيسي (μ B) متوافق مع كون نسبة التطعيم منخفضة جدًا، إذ لم تحدث إعادة توزيع واسعة في الكثافة الإلكترونية كما في نسب التطعيم الأعلى (10%). هذا يؤكد أن تأثير 104 هنا محلى ومحدود

الخاصية الخا

الجدول(3) يوضح طاقة الفجوة والطاقة الكلية للأكسيدين قبل وبعد التطعيم

الاستنتاجات والتوصيات

أظهرت الحسابات في هذا البحث الدراسة أن تطعيم الأكاسيد الفريتية 40 MnFe2O4 و CoFe2O4 بأيونات اللانثانوم الخهرت الحسابات في هذا البحث الدراسة أن تطعيم الأكاسيد الفريتية البطوري والمغناطيسي. فقد لوحظ الخهاض فجوة الطاقة بمقدار يقارب (0.2 eV) نتيجة تراكب مدارات 4f لله المع 3d للحديد، مما يرفع مستوى فيرمي ويُحسن التوصيلية الإلكترونية من نوع n-type .

من الناحية المغناطيسية، تبيّن أن التمدد الطفيف في الشبكة الناتج عن نصف قطر +La³ الأكبر يزيد من زاوية—Fe ويعزز تفاعل التبادل الفائق (superexchange) مما يرفع درجة كوري المحتملة دون فقدان المغناطيسية الفيريمغناطيسية.

تُظهر هذه النتائج أن التطعيم بتركيز منخفض من +La يمكن أن يُستخدم كوسيلة فعالة لضبط الخصائص الإلكترونية والمغناطيسية دون الحاجة لتغييرات بنيوبة جذربة أو توليد عيوب أكسجينية.

- يُقترح توسيع الدراسة لحساب تأثير نسب تطعيم مختلفة (10-1)) ومواقع تطعيم بديلة في الشبكة لمعرفة الحد الذي تبدأ عنده التأثيرات السالبة كالفراغات أو اختلال الشحنة.
 - تنفيذ حسابات DFT في مستوبات أعلى من الدقة للتحقق من اتساق نتائج فجوة الطاقة.

المراجع:

- [1] Valenzuela R. Spinel ferrites: A versatile material for electronics and other applications. Magn Magn Mater. 2012;324(21):3469–3474. [2] Pullar RC. Hexagonal ferrites: A review of the synthesis, properties, and applications hexaferrite ceramics. Prog Mater Sci. 2012;57(7):1191–1334. [3] Brabers VAM. Progress in spinel ferrite research. In: Buschow KHJ, editor. Handbook of Magnetic Materials. Vol. 8. Amsterdam: Elsevier; 1995. p. 189-324. [4] Hou D, et al. Structural, electronic and magnetic properties of RE³⁺-doped CoFe₂O₄ (RE = La, Ce, Pr, Nd, Sm, Eu, Gd). J Magn Magn Mater. 2017;426:443-449. [5] Kohn W, Sham LJ. Self-consistent equations including exchange and correlation effects. Phys Rev. 1965;140(4A):A1133–A1138.
- [6] Hohenberg P, Kohn W. Inhomogeneous electron gas. *Phys Rev.* 1964;136(3B):B864–B871. doi:10.1103/PhysRev.136.B864
- [7] Parr RG, Yang W. Density-Functional Theory of Atoms and Molecules. Oxford Univ Press; 1989.
- [8] Hutter J, et al. *CP2K: Atomistic simulations of condensed matter systems*. Wiley Interdiscip Rev Comput Mol Sci. 2014;4(1):15–25.
- [9] Perdew JP, Burke K, Ernzerhof M. Generalized Gradient Approximation made simple. *Phys Rev Lett.* 1996;77(18):3865–3868. doi:10.1103/PhysRevLett.77.3865.
- [10]Monkhorst HJ, Pack JD. Special points for Brillouin-zone integrations. *Phys Rev B*. 1976;13(12):5188–5192.
- [11]VandeVondele J, et al. Quickstep: Fast and accurate density functional calculations using a mixed Gaussian and plane waves approach. *Comput Phys Commun.* 2005;167(2):103–128. doi:10.1016/j.cpc.2004.12.014
- [12]Lippert G, Hutter J, Parrinello M. A hybrid Gaussian and plane wave density functional scheme. *Mol Phys.* 1997;92(3):477–488.
- [13]Mulliken RS. Electronic population analysis on LCAO–MO molecular wave functions. *J Chem Phys.* 1955;23(10):1833–1840. doi:10.1063/1.1740588.

[14]Goodenough JB. Magnetism and the Chemical Bond. New York: Interscience Publishers; 1963.

[15]Hou D, Yang J, Zhang X, Ma Y, Li L, Yang X. Structural, electronic and magnetic properties of La³⁺-doped CoFe₂O₄. *J Magn Magn Mater*. 2017;426:443–449.

[16]Zhang W, Li Z, Chen J, Xu Y, Wang G. Electronic structure modulation of La-doped CoFe₂O₄ spinel ferrite: A DFT study. *J Alloys Compd.* 2018;731:1174–1183.

[17]Sinha E, Kumar R, Singh R, Chandra R. Effect of La substitution on magnetic and dielectric properties of CoFe₂O₄. *J Appl Phys.* 2019;125(19):193902.